

طراحی سیستم کنترل یک پارچه بویلر - توربین

بر مبنای کنترل کننده مدل لغزشی بهبودیافته

سیاوش گل محمدی، رحمت‌الله هوشمند و محمد عطائی

خارجی علاوه بر حلقه کنترل مگاوات در سیستم کنترل توربین وجود دارد. تاکنون کنترل کننده‌های متعددی برای بویلر-توربین نیروگاه بخار طراحی شده است که هر یک دارای معاایب و مزایای خود است. این کنترل کننده‌ها را می‌توان به دو گروه عمده تقسیم کرد. گروه اول، رویکردهای هوشمند مانند الگوریتم ژنتیک و منطق فازی است [۴] و [۶]. برخی از این روش‌ها بر اساس ورودی‌ها، یک سری خروجی تولید می‌کنند و برای مدل تجهیزات بلوك‌های جعبه سیاه تولید می‌کنند و لذا در مدل سازی دینامیک‌های داخلی ضعف دارند. گروه دوم، رویکردهای کنترل کلاسیک مانند کنترل پیش‌بین [۱]، روش خطی درجه دوم گوسی (LQG) [۷]، روش LQG/LTR [۸]، رویکرد H[∞] [۹] و [۱۰] و ترکیب روش‌های مذکور می‌باشد. بسیاری از این روش‌ها بر اساس خطی‌سازی مدل سیستم عمل می‌کنند. با توجه به غیر خطی بودن مدل نیروگاه بخار و تغییر وسیع نقطه کار، خطای حاصل از خطی‌سازی زیاد می‌شود. با توجه به موارد مذکور روش‌های کنترلی که بتواند بر اساس مدل غیر خطی عمل کند و در برابر اختشاشات و عدم قطعیت‌های سیستم مقاوم باشد، مورد توجه قرار گرفته است [۱۱] و [۱۲]. از این رو کنترل کننده‌های ساختار متغیر مانند کنترل کننده‌های مدل لغزشی می‌توانند مورد استفاده قرار گیرند [۷].

لازم به ذکر است اکثر مطالعات انجام شده در زمینه کنترل بویلر و یا توربین به طور مجزا بوده است. این در حالی است که برخی پارامترهای بویلر و توربین به شدت با هم تزویج دارند و کنترل هر کدام به تنها یک و نادیده‌گرفتن اثیر کمیت‌ها بر هم در هنگام بهره‌برداری در مود کنترلی یکپارچه کارآیی ندارد [۱۳]. لذا کنترل هماهنگ بویلر و توربین مهم است و به خاطر اثرات این دو بر هم، باید آنها را همانند دو جزء یک سیستم مدل نظر قرار داد [۷]. به عبارتی باید از سیستم‌های کنترل چندمتغیره بهره جست.

در این مقاله یک سیستم کنترل پیشنهادی مبتنی بر کنترل کننده‌های مدل لغزشی برای کنترل هماهنگ دور توربین (فرکانس) و فشار بخار خروجی بویلر یک نیروگاه بخاری طراحی شده است. همچنین از مدل دقیق توربوزناتور و بویلر به همراه سیستم‌های کنترلی آن استفاده شده است. در این مدل سازی سعی شده است که کلیه حلقه‌های کنترلی و سیگنال‌های مربوط به کنترل دیسپاچینگ سیستم بویلر و توربین لحاظ گردد و در نهایت، این شبیه‌سازی بر روی نیروگاه اسلام‌آباد اصفهان اجرا شده است. نتایج شبیه‌سازی، برتری کنترل کننده مدل لغزشی را در مواجهه با تغییرات بار و اختشاشات بویلر به خوبی نشان می‌دهد.

۲- مدل سازی نیروگاه بخاری

قبل از طراحی سیستم کنترل موردنظر لازم است مدل سازی اجزای سیستم بویلر-توربین صورت گیرد. با توجه به این که محور کار بر اساس واحد دوم ۳۲۰ مگاواتی نیروگاه اسلام‌آباد اصفهان است، لذا لازم است

چکیده: برای مشارکت نیروگاه بخاری در تنظیم فرکانس شبکه علاوه بر تولید بار پایه، باید بویلر و توربین به طور هماهنگ کنترل شوند. عدم کنترل هماهنگ بویلر-توربین سبب ناپایداری، نوسانی شدن توان تولیدی و پارامترهای بویلر، کاهش قابلیت اطمینان واحد و واردشدن نتش‌های ترمودینامیکی به تجهیزات می‌گردد. در این مقاله یک سیستم کنترل پیشنهادی بر مبنای کنترل مدل لغزشی برای کنترل هماهنگ دو پارامتر اصلی بویلر-توربین، یعنی دور توربین (فرکانس) و فشار بخار سوپرھیت خروجی بویلر ارائه می‌گردد. در این راستا سعی می‌شود تا با مدل سازی دقیق و کامل سیستم از قبیل توربوزناتور، بویلر و سیستم‌های کنترلی آن، قابلیت روش پیشنهادی بهتر نمایان شود. این روش پیشنهادی بر روی نیروگاه بخاری اسلام‌آباد اصفهان شبیه‌سازی شده و با کنترل کننده‌های تناسی انتگرالی به کار رفته در آن مقایسه شده است. نتایج شبیه‌سازی، قابلیت سیستم کنترل مدل لغزشی را در کنترل فرکانس و فشار بخار سوپرھیت در حضور تغییرات بار و اختشاشات بویلر به خوبی نشان می‌دهد.

کلید واژه: نیروگاه بخاری، کنترل مدل لغزشی، فرکانس، فشار بخار ترموتل.

۱- مقدمه

کنترل فرکانس یکی از ارکان اساسی پایداری شبکه برق است. به منظور مشارکت واحدهای بخاری در تنظیم فرکانس شبکه برق لازم است که بویلر و توربین در ارتباطی هماهنگ چنان عمل کنند که توربین به سرعت به تقاضای بار شبکه پاسخ دهد. همچنین بویلر بتواند پارامترهای خود که مهم‌ترین آن فشار بخار اصلی خروجی از آن و ورودی به توربین است را در مقدار مطلوب نگه دارد. به منظور نیل به این اهداف لازم است اجزای این سیستم، یعنی بویلر، توربین و گاورنر به دقت مدل سازی و کنترل شود.

در حال حاضر بیشتر سیستم‌های کنترل نیروگاهی از نوع تناسی-انتگرالی می‌باشد که غالباً بر اساس دیدگاه‌های سیستم‌های خطی تک‌وروپی-تک‌خرجی طراحی شده‌اند [۱] تا [۳]. این در حالی است که سیستم بویلر-توربین، یک سیستم غیر خطی چندوروپی-چندخرجی با تزویج زیاد بین متغیرهای حالت می‌باشد.

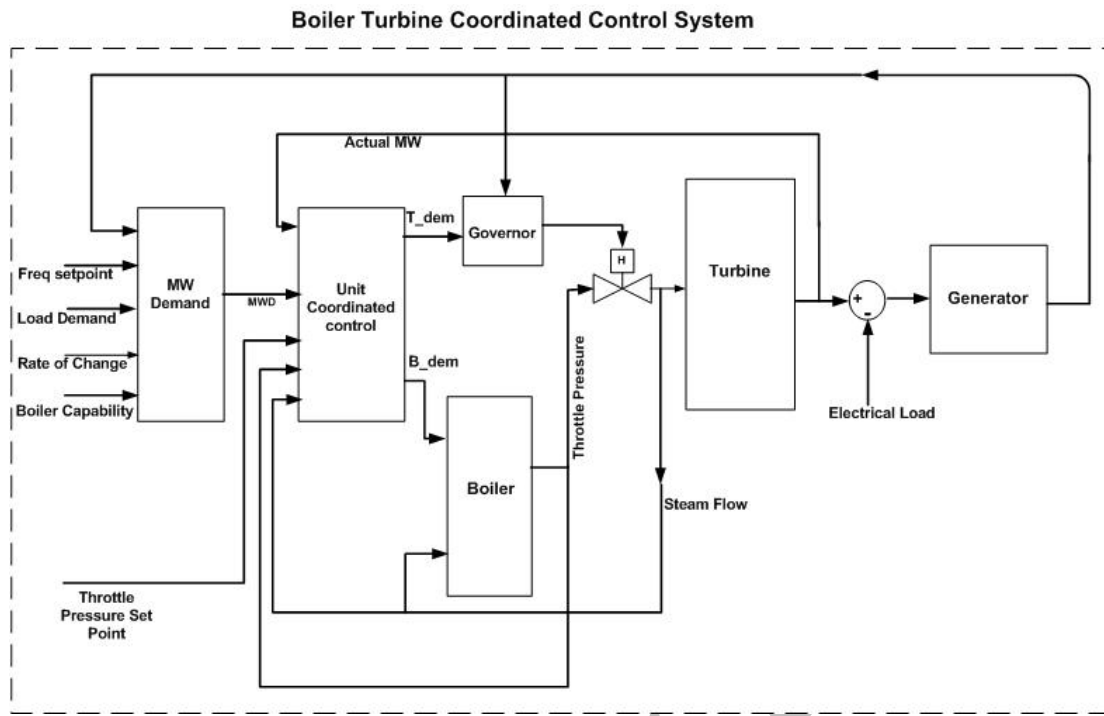
در بسیاری از پژوهش‌های انجام شده، حلقه کنترل فرکانس مدل سازی نشده است و صرفاً حلقه کنترل مگاوات مدل شده است [۲]، [۴] و [۵]. باید توجه داشت که در عمل، فیدبک فرکانس به صورت دو حلقه داخلی-

این مقاله در تاریخ ۱۴ مهر ماه ۱۳۸۹ دریافت و در تاریخ ۲۰ آبان ماه ۱۳۹۰ بازنگری شد.

سیاوش گل محمدی، دانشکده مهندسی، گروه برق، دانشگاه اصفهان، اصفهان، (email: Samani25@gmail.com)

رحمت‌الله هوشمند، دانشکده مهندسی، گروه برق، دانشگاه اصفهان، اصفهان، (email: Hooshmand_r@eng.ui.ac.ir)

محمد عطائی، دانشکده مهندسی، گروه برق، دانشگاه اصفهان، اصفهان، (email: Ataei@eng.ui.ac.ir)



شکل ۱: بلوك دیاگرام سیستم کنترل واحد دوم ۳۲۰ مگاواتی در استان اصفهان - ایران.

ورودی به توربین (که از این به بعد فشار بخار ترول خواهیم نامید) را دارد اما عملکرد این دو مستقل از هم نیستند و با یکدیگر در ارتباط هستند [۱۴] و [۱۵] که در بخش چهارم به تشریح آن خواهیم پرداخت. در واقع سیستم کنترل یکپارچه بویلر-توربین، شامل دو زیرسیستم است. یکی از این سیستم‌ها، سیستم کنترل دور توربین که همان حلقه معروف کنترل بار-فرکانس (LFC) توربین است. سیستم دیگر، حلقه کنترل فشار بخار سوپرهیت خروجی بویلر و ورودی به توربین است. این حلقه با اندازه‌گیری فشار بخار سوپرهیت و مقایسه آن با یک مقدار مرجع، فرمان‌هایی به زیرحلقه‌های کنترل سوخت و هوا و آب تغذیه صادر می‌کند.

۲-۲ معادلات حالت سیستم

برای اعمال روش کنترل پیشنهادی بر سیستم لازم است معادلات حالت سیستم مورد مطالعه تعیین گردد. بر این اساس، سیستم بیان شده در بلوك دیاگرام شکل ۱ دارای ده حالت می‌باشد که عبارتند از

$$\begin{aligned} X &= (x_1, x_2, \dots, x_{10}) \\ &= (D_Q, M_W, P_D, P_T, S_r, C_v, N_{hp}, N_{ip}, N_{lp}, dw) \end{aligned} \quad (1)$$

D_Q : فلوی حرارتی از کوره به لوله‌های دیوارهای.

M_w : فلوی آب در لوله‌های دیوارهای.

P_D : فشار درام.

P_T : فشار بخار ترول.

S_r : حالت مربوط به رله سرعت در گاورنر.

C_v : درصد بازبودن گاورنینگ والوهای توربین.

N_{hp} : قدرت مکانیکی تولیدی توربین فشارقوی.

N_{ip} : قدرت مکانیکی تولیدی توربین فشارمتوسط.

N_{lp} : قدرت مکانیکی تولیدی توربین فشارضعیف.

dw : اختلاف فرکانس.

در ضمن ورودی‌های این سیستم عبارتند از:

u_1 : درصد کنترل والو سوخت بویلر.

u_2 : درصد کنترل والو توربین.

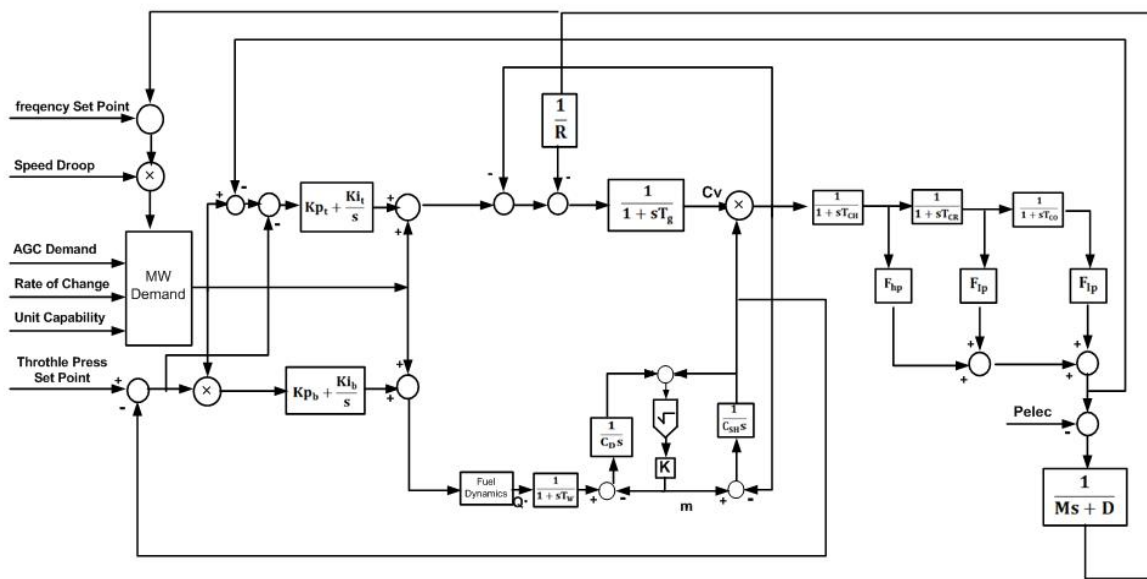
مدل‌های متناسب با آن مورد استفاده قرار گیرد. انتخاب مدل‌ها باید چنان باشد که در عین سادگی، دینامیک‌های مهم سیستم بویلر-توربین را در بر گیرد. بلوك دیاگرام سیستم کنترل واحد بخاری مد نظر در شکل ۱ نشان داده شده است. در ادامه قسمت‌های مختلف این بلوك دیاگرام تشریح خواهد شد.

۱-۲ سیستم کنترل بویلر-توربین

در هر واحد بخار با دریافت فرمان از سیستم کنترل اتوماتیک تولید (AGC) و با فیدبک از فرکانس شبکه و با در نظر گرفتن توانایی واحد، سیگнал تقاضای بار واحد (توسط بلوك MW Demand شکل ۱) ساخته می‌شود. سپس این سیگنال، وارد سیستم کنترل هماهنگ بویلر-توربین می‌شود. این سیستم با فیدبک از تولید جاری واحد و فشار بخار ترول فرمان‌هایی به بویلر و توربین جهت تغییر تولید صادر می‌کند. این بدان معنی است که سیستم کنترل بویلر-توربین تنها بر اساس فرمان سیستم کنترل اتوماتیک تولید عمل نمی‌کند، بلکه فشار بخار اصلی و فرکانس شبکه و توانایی خود را نیز در تصمیم‌سازی تغییر تولید لحاظ می‌کند. به عنوان مثال اگر درخواست افزایش بار از سوی شبکه شود و فشار بخار اصلی مطلوب نباشد، واحد بخار پس از اصلاح خطای فشار بخار اصلی به درخواست شبکه پاسخ خواهد داد.

سیگنال تقاضای بار هماهنگ مان بر روی توربین و بویلر اثر می‌گذارد و همزمان با تغییر وضعیت گاورنینگ والوهای توربین، بویلر نیز خروجی خود را تغییر می‌دهد. همچنین در صورت عملکرد مطلوب سیستم کنترل، در یک ارتباطی هماهنگ، توربین طوری کنترل می‌گردد که دبی بخار مورد نیاز بار را فراهم کند و در ضمن بویلر طوری کنترل می‌گردد که بخار مورد نیاز توربین را با فشار و دمای مطلوب فراهم نماید.

سیستم کنترل هماهنگ بویلر-توربین دارای دو کنترل کننده تناوبی-انگرالی تزویج شده می‌باشد. یکی از این دو، وظیفه کنترل بار تولیدی واحد در راستای مشارکت در تصحیح خطای فرکانس شبکه را دارد. کنترل کننده دیگر وظیفه کنترل فشار بخار سوپرهیت خروجی از بویلر و



شکل ۲: بلوک دیاگرام گستردۀ سیستم بویلر- توربین واحد دوم ۳۲۰ مگاواتی در استان اصفهان- ایران.

پارامترهای کنترلی واحد مذکور در مدل در نظر گرفته شده است [۱۹]. توربین نیروگاه دارای معادلات حالت زیر است

$$\dot{x}_v = -\frac{1}{T_{ch}}x_v + \frac{F_{hp}}{T_{ch}}x_v x_s \quad (8)$$

$$\dot{x}_\lambda = -\frac{1}{T_{co}}x_\lambda + \frac{1}{T_{co} F_{ip}}(x_a - x_\lambda - x_v) \quad (9)$$

$$\begin{aligned} \dot{x}_a &= \frac{1}{T_{ch}}x_v + \frac{F_{lp}}{T_{ch}}x_v x_s - \frac{1}{T_{rh}}(x_a - x_\lambda - x_v) \\ &+ \frac{1}{T_{rh}}\frac{F_{ip}}{F_{hp}}x_v - \frac{1}{T_{co}}x_\lambda + \frac{1}{T_{co} F_{ip}}(x_a - x_\lambda - x_v) \end{aligned} \quad (10)$$

که در این معادلات T_{ch} ثابت زمانی محفظه بخار، T_{rh} ثابت زمانی ری هیت، T_{co} ثابت زمانی Cross over، F_{hp} و F_{ip} به ترتیب سهم مشارکت توربین فشارقوی، فشارمتوسط و فشارضعیف در قدرت مکانیکی تولیدی توربین است.

۴-۲-۲ معادله حالت مربوط به ژنراتور

دینامیک ژنراتور با معادله زیر بیان می شود

$$\dot{x}_d = -\frac{D}{M}x_d + \frac{1}{M}x_s - \frac{1}{M}d_i \quad (11)$$

که در آن M ثابت اینرسی ژنراتور، D ضریب میرایی ژنراتور و d_i اغتشاش بار الکتریکی است.

چون سیستم بویلر- توربین- ژنراتور مورد بحث، یک سیستم دوورودی- دوخرسی با ده حالت است، لذا باید از روش‌های طراحی کنترل کننده مود لغزشی برای سیستم‌های چندورودی- چندخرسی استفاده نمود.

۳- بلوک دیاگرام کنترلی نیروگاه

شکل ۲ بلوک دیاگرام گستردۀ سیستم بویلر- توربین را نشان می دهد. این شکل شامل مدل بویلر، توربین، گاورنر، بار الکتریکی به انضمام ژنراتور و سیستم کنترل بویلر- توربین می باشد. همان‌طور که قبل اشاره شد سیستم کنترل بویلر- توربین به کار رفته در نیروگاه اسلام‌آباد از دو کنترل کننده تناسبی- انتگرالی تزویج شده تشکیل شده است.

۲-۲-۱ معادلات حالت بویلر

مدل بویلر بر اساس مدل Demello انتخاب شده است [۱۶] و [۱۷] که یک مدل عمومی و پارامتری بویلر است و دینامیک‌های فشار و فلوی بویلر را در بر می گیرد و برای بحث مورد نظر ما کافیت می کند. بر این اساس معادلات حالت بویلر درامدار به این صورت بیان می شوند

$$\dot{x}_v = -\frac{1}{T_{fu}}x_v + \frac{1}{T_{fu}}u_v \quad (2)$$

$$\dot{x}_\lambda = -\frac{1}{T_w}x_\lambda + \frac{1}{T_w}x_v \quad (3)$$

$$\dot{x}_v = \frac{1}{C_D}x_v - \frac{K_b\sqrt{x_v - x_e}}{C_D} \quad (4)$$

$$\dot{x}_\lambda = \frac{K_b\sqrt{x_v - x_e}}{C_{SH}} - \frac{x_v x_s}{C_{SH}} \quad (5)$$

که در این معادلات T_{fu} ثابت زمانی احتراق، T_w ثابت زمانی لوله‌های دیواره‌ای، K_b ضریب افت فشار بین درام و توتل، C_{SH} ضریب ذخیره‌سازی درام و C_D ضریب ذخیره‌سازی لوله‌ای سوپرهیت است.

۲-۲-۲-۱ معادلات حالت گاورنر

مدل گاورنر مطابق با واحد نیروگاهی مربوطه، به صورت هیدرولیکی- مکانیکی مد نظر است و پارامترهای کنترلی واحد مذکور در مدل لحاظ شده است [۱۸]. معادلات حالت گاورنر به صورت زیر بیان می شوند

$$\dot{x}_d = \frac{1}{T_{SR}}x_d + \frac{1}{T_{SR}}(u_v - x_v x_s - \frac{x_d}{R}) \quad (6)$$

$$\dot{x}_s = -\frac{1}{T_{sm}}x_s + \frac{1}{T_{sm}}x_d \quad (7)$$

که در این معادلات T_{SR} ثابت زمانی رله سرعت، T_{sm} ثابت زمانی سرمهکانیسم و R دروب سرعت است.

۲-۲-۲-۲-۱ معادلات حالت توربین

مدل توربین مطابق با آنچه در واحد نیروگاهی مورد نظر وجود دارد، مدل توربین سه مرحله‌ای و دارای ری‌هیت در نظر گرفته شده است و

خواهیم داشت

$$x_i^{(m_i)} = f_i(x) + \sum_{j=1}^n b_i j(x) u_j + d_i(t) \quad (19)$$

$$S = [s_1 \ s_2 \ \dots \ s_n]^T \quad (20)$$

$$s_i = (D + \lambda_{i_1})(D + \lambda_{i_2}) \dots (D + \lambda_{i_{(n-1)}}) e_i, \quad D = \frac{d}{dt} \quad (21)$$

$$W = [w_1 \ w_2 \ \dots \ w_n]^T \quad (22)$$

$$w_i = [(F_i + \alpha_i e^{-\frac{\beta_i}{|s_i|}}) \tanh(\frac{s_i}{\varepsilon_i}) + \gamma_i s_i] \quad (23)$$

$$U = \hat{B}^{-1}(x_r^{n-1} - \hat{f} - W) \quad (24)$$

که پارامترهای α_i ، β_i ، γ_i و ε_i با توجه به تحقق شروط لغزش زیر انتخاب می‌گردند

$$S_i \dot{S}_i \leq -\eta_i |s_i| e^{-\frac{\beta_i}{|s_i|}} - \gamma_i s_i \quad (25)$$

۵- اعمال روش کنترل پیشنهادی بر روی نیروگاه اسلام‌آباد

در مورد سیستم بویلر-توربین ماتریس B در ابتدای امر معکوس‌پذیر به نظر نمی‌رسد. این از آنجا ناشی می‌شود که هم در معادله متغیر حالت x و هم در معادله متغیر حالت u تنها ورودی u ظاهر می‌شود و ورودی u ظاهر نمی‌شود. اما با توجه به آنچه در عمل در نیروگاه اتفاق می‌افتد، باید کاری کنیم که در معادله حالت x ورودی u و در معادله حالت u ورودی u ظاهر شود؛ یعنی در عمل حالت x توسط ورودی u کنترل‌پذیر است. برای این منظور به روش زیر عمل می‌کنیم

$$C_{SH} \ddot{x}_r = x_r - C_D \ddot{x}_r - T_{ch} \ddot{x}_d - \dot{x}_d \quad (26)$$

$$M \ddot{x}_s = -D \ddot{x}_s + \dot{x}_d - \ddot{d}_l \quad (27)$$

$$C_{SH} \ddot{x}_r = -\frac{1}{T_{fu}} x_r + \frac{1}{T_{fu}} u_r - C_D \ddot{x}_r - T_{ch} \ddot{x}_d - \dot{x}_d \quad (28)$$

$$\begin{aligned} M \ddot{x}_s &= -D \ddot{x}_s - \frac{1}{T_{ch}} \dot{x}_d + \frac{1}{T_{ch}} \dot{x}_r x_r + \frac{1}{T_{ch}} x_r \dot{x}_r - \ddot{d}_l \\ &= -D \ddot{x}_s - \frac{1}{T_{ch}} \dot{x}_d + \frac{1}{T_{ch}} \dot{x}_r x_r \\ &\quad + \frac{1}{T_{ch}} x_r \left[-\frac{1}{T_g} x_r + \frac{1}{T_g} \left(u_r - \frac{x_s}{R} \right) \right] - \ddot{d}_l \quad (29) \\ &= -D \ddot{x}_s - \frac{1}{T_{ch}} \dot{x}_d + \frac{1}{T_{ch}} \dot{x}_r x_r + \frac{1}{T_{ch} T_g} x_r x_r \\ &\quad + \frac{1}{T_{ch} T_g} x_r u_r - \frac{1}{T_{ch} T_g} x_r x_s - \ddot{d}_l \end{aligned}$$

لازم به ذکر است که T_g ثابت زمانی گاورنر بوده که برابر $T_{sm} + T_{SR}$ است. مشاهده می‌کنیم با این کار در معادله x ورودی u و در معادله x ورودی u ظاهر می‌شود.

در ادامه سطوح لغزش به صورت زیر تعریف می‌گردند

$$s_r = \dot{e}_r + b_r e_r \quad (30)$$

$$s_s = \ddot{e}_s + c_s \dot{e}_s + c_s e_s \quad (31)$$

پاسخ این سیستم به تغییرات بار کند و دارای فراجهش و فروجهش زیاد است. علاوه بر این با توجه به غیر خطی بودن سیستم بویلر-توربین، با تغییر نقطه کار و تغییر پارامترهای سیستم، این کنترل کننده‌ها کارای خود را از دست می‌دهند. بهمنظور رفع این ضعف‌ها در قسمت بعدی، این دو کنترل کننده را با یک کنترل کننده مود لغزشی جایگزین خواهیم کرد.

۴- طراحی کنترل کننده پیشنهادی

کنترل کننده مود لغزشی با توجه به خصوصیات و ویژگی‌های آن، در کنترل سیستم‌های غیر خطی متفاوتی قابل کاربرد می‌باشد [۲۰]. بدین منظور، سیستم غیر خطی با معادلات دینامیکی فرم کانونیکال زیر در نظر گرفته می‌شود

$$x^{(n)} = f(x) + b(x)u + d(t) \quad (12)$$

که در آن $f(x)$ و $b(x)$ توابع غیر خطی و دارای عدم قطعیت هستند که کران این توابع در دسترس می‌باشد و برابر \hat{f} و \hat{b} است. همچنین تابع $d(t)$ نیز در ارتباط با اغتشاش واردشده به سیستم می‌باشد. در این رابطه $x[t] = [x(t) \ \dot{x}(t) \ \dots \ x^{n-1}(t)]^T$ بودار حالت سیستم است. با در نظر گرفتن بودار حالت مطلوب $(x_d(t), \dot{x}_d(t), \dots, x^{n-1}_d(t))$ ، بودار خطای حالت را می‌توان به صورت زیر نمایش داد

$$E(t) = x(t) - x_d(t) = [e(t) \ \dot{e}(t) \ \dots \ e^{n-1}(t)]^T \quad (13)$$

اولین گام در طراحی کنترل کننده مود لغزشی، مشخص کردن یک سطح لغزش مناسب در فضای حالت است. این سطح لغزش را که تحت عنوان تابع سوئیچ نامیده می‌شود، به صورت زیر در نظر می‌گیریم

$$s = (D + \lambda_1)(D + \lambda_2) \dots (D + \lambda_{n-1})e, \quad D = \frac{d}{dt} \quad (14)$$

دومین گام در طراحی کنترل کننده مود لغزشی، تعیین قانون کنترل برای هدایت سیستم به سمت سطح لغزش انتخاب شده می‌باشد. در این روش، همواره قانون کنترل از دو قسمت تشکیل می‌شود که به صورت زیر نمایش داده می‌شود

$$u(t) = u_{eq}(t) - u_n(t) \quad (15)$$

$$u_{eq}(t) = \hat{b}^{-1}(x_r^{n-1} - \hat{f}) \quad (16)$$

$$x_r^{n-1} = x_d^n - b_1 x_d^{n-1} + b_2 x_d^{n-2} - \dots - b_{n-1} \dot{x}_d + b_n x_d \quad (17)$$

در کنترل کننده‌های مود لغزشی کلاسیک، $u_n(t)$ به صورت تابع عالمت در نظر گرفته می‌شود ولی به های آن می‌توان از فرم‌های دیگری نیز استفاده کرد که یک نمونه به صورت (۱۸) بوده که در [۲۱] تبیین و تشریح شده و اثبات پایداری آن نیز صورت گرفته است

$$u_n = \hat{b}^{-1}[(F + \alpha e^{-\frac{\beta}{|s|}}) \tanh(\frac{s}{\varepsilon}) + \gamma s] \quad (18)$$

که در آن α و γ ثابت‌های مثبت و $F = \max |f - \hat{f}|$ است. در این حالت ثابت شده است که اگر شرط‌های $\alpha > \eta$ و $\alpha - \eta < 2Fe^{-\beta/|s|}$ برقرار باشد، در این صورت حالت‌های سیستم به سمت سطح لغزش از پیش تعیین شده همگرا خواهد شد. این کنترل کننده را کنترل کننده مود لغزشی بهبودیافته می‌نامیم. استفاده از این تابع باعث می‌شود ضمن حذف کامل چترینگ، رفتار دینامیکی سیستم به گونه‌ای باشد که در زمان دورشدن سیستم از سطح لغزش سرعت همگرای آن بیشتر شود. با تعمیم مطالب فوق برای سیستم‌های چندورودی - چندخروجی

$$\begin{aligned} u_{\text{v}} &= x_{\text{v}} + T_{fu} C_D \ddot{x}_{\text{v}} + T_{fu} T_{ch} \ddot{x}_{\text{d}} + T_{fu} \dot{x}_{\text{d}} + T_{fu} C_{SH} \ddot{x}_{\text{vd}} \\ &- T_{fu} b_{\text{v}} x_{\text{v}} + T_{fu} b_{\text{v}} C_D \ddot{x}_{\text{v}} + T_{fu} b_{\text{v}} T_{ch} \ddot{x}_{\text{d}} + T_{fu} b_{\text{v}} x_{\text{d}} \\ &+ T_{fu} b_{\text{v}} C_{SH} \dot{x}_{\text{v}} - K_{\text{v}} T_{fu} C_{SH} \operatorname{sgn}(s_{\text{v}}) \end{aligned} \quad (40)$$

$$\begin{aligned} u_{\text{v}} &= \frac{T_{ch} T_g D}{x_{\text{v}}} \ddot{x}_{\text{v}} + \frac{T_g}{x_{\text{v}}} \dot{x}_{\text{d}} - \frac{T_g}{x_{\text{v}}} \dot{x}_{\text{v}} x_{\text{d}} + x_{\text{d}} + \frac{1}{R} x_{\text{d}} \\ &+ \frac{T_{ch} T_g \ddot{d}_l}{x_{\text{v}}} + M \frac{T_{ch} T_g}{x_{\text{v}}} \ddot{x}_{\text{vd}} - \frac{M T_{ch} T_g}{x_{\text{v}}} c_{\text{v}} \ddot{x}_{\text{v}} \\ &+ \frac{M T_{ch} T_g}{x_{\text{v}}} c_{\text{v}} \ddot{x}_{\text{vd}} - \frac{M T_{ch} T_g}{x_{\text{v}}} c_{\text{v}} \dot{x}_{\text{v}} \\ &- \frac{M T_{ch} T_g}{x_{\text{v}}} c_{\text{v}} \dot{x}_{\text{vd}} - \frac{M T_{ch} T_g}{x_{\text{v}}} k_{\text{v}} \operatorname{sgn}(s_{\text{v}}) \end{aligned} \quad (41)$$

البته لازم به ذکر است که جهت انجام شبیه‌سازی بر اساس روش بهبودیافته پیشنهادی، بر طبق (۲۳) و (۲۴) توابع مریبوطه جایگزین توابع علامت به کار رفته در روابط فوق شده‌اند که در واقع روابط منتجه زیر حاصل می‌گردد

$$\begin{bmatrix} u_{\text{v}} \\ u_{\text{d}} \end{bmatrix} = - \begin{bmatrix} T_{fu} C_{SH} & \cdot \\ \cdot & \frac{M T_{ch} T_g}{x_{\text{v}}} \end{bmatrix} \times \left\{ \begin{bmatrix} G_{\text{v}} \\ G_{\text{d}} \end{bmatrix} + \begin{bmatrix} (F_{\text{v}} + \alpha_{\text{v}} e^{-\frac{\beta_{\text{v}}}{|s_{\text{v}}|}}) \tanh(\frac{s_{\text{v}}}{\varepsilon_{\text{v}}}) + \gamma_{\text{v}} s_{\text{v}} \\ (F_{\text{d}} + \alpha_{\text{d}} e^{-\frac{\beta_{\text{d}}}{|s_{\text{d}}|}}) \tanh(\frac{s_{\text{d}}}{\varepsilon_{\text{d}}}) + \gamma_{\text{d}} s_{\text{d}} \end{bmatrix} \right\} \quad (42)$$

۶- نتایج شبیه‌سازی

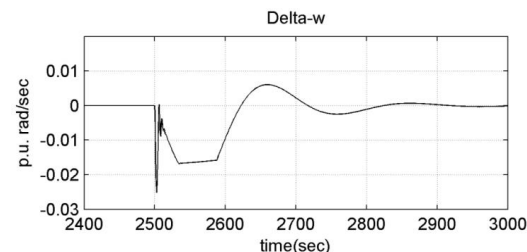
در این بخش، نتایج شبیه‌سازی اعمال سیستم کنترل پیشنهادی بر روی واحد دوم ۳۲۰ مگاواتی نیروگاه اسلام‌آباد اصفهان- ایران و همچنین سیستم کنترل تناوبی انتگرالی مورد بررسی و ارزیابی قرار می‌گیرد. مدل این نیروگاه بر اساس شکل ۲ می‌باشد که پارامترهای آن در قسمت ضمیمه آورده شده است.

۶-۱ پاسخ سیستم در حضور کنترل کننده‌های تناوبی انتگرالی

در ابتدا فرض می‌شود که فقط از کنترل کننده‌های تناوبی انتگرالی در کنترل فرکانس نیروگاه استفاده شده است. پاسخ پله حالت $\Delta\omega(t)$ به ازای تغییر $0/1 \text{ p.u. rad/sec}$ در بار الکتریکی به صورت شکل ۳ می‌باشد. همان‌طور که مشاهده می‌گردد، زمان نشست پاسخ 350 sec و میزان فراجهش آن $0.006 \text{ p.u. rad/sec}$ (0.46 Hz) است. لذا سیستم، دارای پاسخ مطلوبی از لحاظ زمان نشست و اضافه جهش نخواهد بود و نیاز به اعمال کنترل بهتری بر روی نیروگاه می‌باشد. همچنین نمودار فشار بخار تروتل در شکل ۴ قابل مشاهده است.

۶-۲ پاسخ سیستم با کنترل مد لغزشی کلاسیک

با توجه به این که کنترل کننده تناوبی انتگرالی قادر به کنترل مطلوب نمی‌باشد، لذا در این قسمت ابتدا از کنترل مد لغزشی کلاسیک استفاده می‌شود. با اعمال یک تغییر $0/1 \text{ pu}$ در بار سیستم، نمودار پاسخ و فشار بخار تروتل در شکل ۵ نمایش داده شده است. در این خصوص لازم به توضیح است که با تغییر ضرایب کنترل کننده‌ها و یا ضرایب سطح



شکل ۳: نمودار پاسخ اختلاف فرکانس با کنترل کننده تناوبی انتگرالی.

که در این معادلات، e_{v} و e_{d} خطای حالت‌ها هستند و b_{v} و b_{d} جزء ثابت‌های طراحی هستند. در این روابط، با مشتق‌گیری و جایگذاری روابط خواهیم داشت

$$\dot{s}_{\text{v}} = \ddot{x}_{\text{v}} - \ddot{x}_{\text{vd}} + b_{\text{v}} \dot{x}_{\text{v}} - b_{\text{v}} \dot{x}_{\text{vd}} \quad (32)$$

$$\dot{s}_{\text{d}} = \ddot{x}_{\text{d}} - \ddot{x}_{\text{vd}} + c_{\text{v}} \dot{x}_{\text{v}} - c_{\text{v}} \dot{x}_{\text{vd}} + c_{\text{d}} \dot{x}_{\text{d}} - c_{\text{d}} \dot{x}_{\text{vd}} \quad (33)$$

$$\begin{aligned} \dot{s}_{\text{v}} &= \frac{1}{C_{SH}} (\dot{x}_{\text{v}} - C_D \ddot{x}_{\text{v}} - T_{ch} \ddot{x}_{\text{d}} - \dot{x}_{\text{d}}) - \ddot{x}_{\text{vd}} \\ &+ \frac{b_{\text{v}}}{C_{SH}} (x_{\text{v}} - C_D \dot{x}_{\text{v}} - T_{ch} \dot{x}_{\text{d}} - x_{\text{d}}) - b_{\text{v}} \dot{x}_{\text{vd}} \end{aligned} \quad (34)$$

$$= \frac{1}{C_{SH}} \left(-\frac{1}{T_{fu}} x_{\text{v}} + \frac{1}{T_{fu}} u_{\text{v}} - C_D \ddot{x}_{\text{v}} - T_{ch} \ddot{x}_{\text{d}} - \dot{x}_{\text{d}} \right) - \ddot{x}_{\text{vd}}$$

$$+ \frac{b_{\text{v}}}{C_{SH}} (x_{\text{v}} - C_D \dot{x}_{\text{v}} - T_{ch} \dot{x}_{\text{d}} - x_{\text{d}}) - b_{\text{v}} \dot{x}_{\text{vd}}$$

$$\dot{s}_{\text{d}} = \frac{1}{M} (-D \ddot{x}_{\text{d}} - \frac{1}{T_{ch}} \dot{x}_{\text{d}} + \frac{1}{T_{ch}} \dot{x}_{\text{v}} x_{\text{d}} - \frac{1}{T_{ch} T_g} x_{\text{v}} x_{\text{d}} \quad (35)$$

$$+ \frac{1}{T_{ch} T_g} x_{\text{v}} u_{\text{v}} - \frac{1}{T_{ch} T_g R} x_{\text{v}} x_{\text{d}} - \ddot{d}_l) \\ - \ddot{x}_{\text{vd}} + c_{\text{v}} \dot{x}_{\text{v}} - c_{\text{v}} \dot{x}_{\text{vd}} + c_{\text{d}} \dot{x}_{\text{d}} - c_{\text{d}} \dot{x}_{\text{vd}} \quad (35)$$

جهت استفاده از (۲۴) برای محاسبه سیگنال کنترلی، ابتدا \hat{B}^{-1} به صورت زیر محاسبه شده و سپس قوانین کنترل u_{v} و u_{d} به دست می‌آیند

$$\hat{B}^{-1} = \begin{bmatrix} \frac{1}{T_{fu} C_{SH}} & \cdot \\ \cdot & \frac{x_{\text{v}}}{M T_{ch} T_g} \end{bmatrix} = \begin{bmatrix} T_{fu} C_{SH} & \cdot \\ \cdot & \frac{M T_{ch} T_g}{x_{\text{v}}} \end{bmatrix} \quad (36)$$

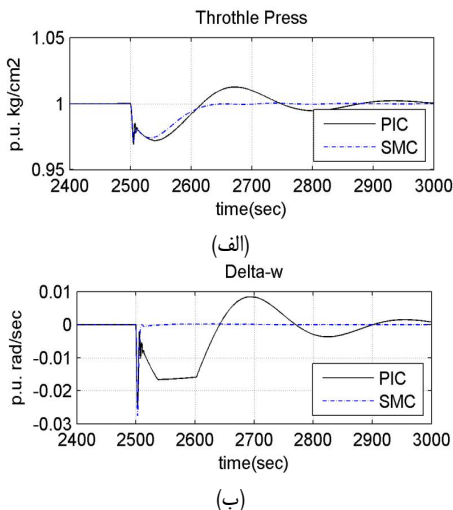
$$\begin{bmatrix} u_{\text{v}} \\ u_{\text{d}} \end{bmatrix} = - \begin{bmatrix} T_{fu} C_{SH} & \cdot \\ \cdot & \frac{M T_{ch} T_g}{x_{\text{v}}} \end{bmatrix} \times \left\{ \begin{bmatrix} G_{\text{v}} \\ G_{\text{d}} \end{bmatrix} + \begin{bmatrix} k_{\text{v}} \operatorname{sgn}(s_{\text{v}}) \\ k_{\text{d}} \operatorname{sgn}(s_{\text{d}}) \end{bmatrix} \right\} \quad (37)$$

که G_{v} و G_{d} عبارتند از

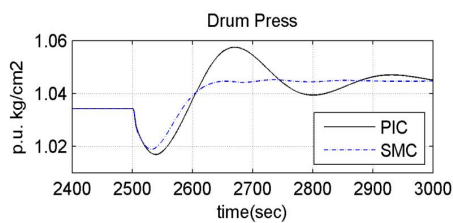
$$G_{\text{v}} = \frac{1}{C_{SH} T_b} x_{\text{v}} - \frac{C_D}{C_{SH}} \ddot{x}_{\text{v}} - \frac{1}{C_{SH}} (T_{ch} \ddot{x}_{\text{d}} - \dot{x}_{\text{d}}) \\ - \ddot{x}_{\text{vd}} + \frac{b_{\text{v}}}{C_{SH}} (x_{\text{v}} - C_D \dot{x}_{\text{v}} - T_{ch} \dot{x}_{\text{d}} - x_{\text{d}}) - b_{\text{v}} \dot{x}_{\text{vd}} \quad (38)$$

$$G_{\text{d}} = \frac{1}{M} (-D \ddot{x}_{\text{d}} - \frac{1}{T_{ch}} \dot{x}_{\text{d}} + \frac{1}{T_{ch}} \dot{x}_{\text{v}} x_{\text{d}} \\ - \frac{1}{T_{ch} T_g} x_{\text{v}} x_{\text{d}} - \frac{1}{T_{ch} T_g R} x_{\text{v}} x_{\text{d}} - \ddot{d}_l) \\ - \ddot{x}_{\text{vd}} + c_{\text{v}} \dot{x}_{\text{v}} - c_{\text{v}} \dot{x}_{\text{vd}} + c_{\text{d}} \dot{x}_{\text{d}} - c_{\text{d}} \dot{x}_{\text{vd}} \quad (39)$$

لذا قوانین کنترل u_{v} و u_{d} به صورت زیر به دست می‌آیند



شکل ۶ مقایسه پاسخ دو سیستم کنترل بهازی پله pu ۰/۱ بار، (الف) فشار بخار تروتل و (ب) اختلاف فرکانس.



شکل ۷ مقایسه پاسخ فشار درام برای دو سیستم کنترل بهازی پله pu ۰/۱ بار.

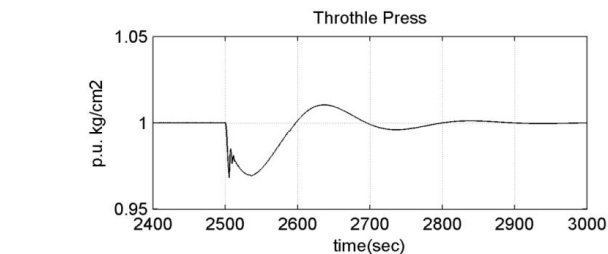
سبب بر هم خوردن سطح درام می‌شود، به‌طوری که با کاهش فشار درام، سطح درام افزایش می‌یابد و بالعکس. سطح درام در یک باند محدودی کنترل می‌شود و خروج از این باند، چه در جهت بالا و چه در جهت پایین، سبب عمل نمودن حفاظت‌های بویلر و خروج واحد بخار می‌گردد. لذا هر چقدر تغییرات سطح درام در دینامیک‌های سیستم کنترل باشد، پایداری سیستم بیشتر می‌گردد. لذا کنترل کننده مود لغزشی از این دیدگاه نیز دارای برتری است.

یکی دیگر از اغتشاشاتی که به سیستم بویلر-توربین وارد می‌شود افت فشار بخار تروتل است. این اغتشاش ناشی از مواردی چون تریپ یک یا دو جفت از مشعل‌های بویلر، افزایش فلوی گازهای گردشی بویلر جهت کنترل دمای ری‌هیبت، سوراخ‌شدن لوله‌های سوپرhit و افت فشار سوخت گاز است. برای مدل کردن این اغتشاشات باید یک پالس یا پله منفی به قسمت فشار بخار تروتل در مدل بویلر وارد کرد.

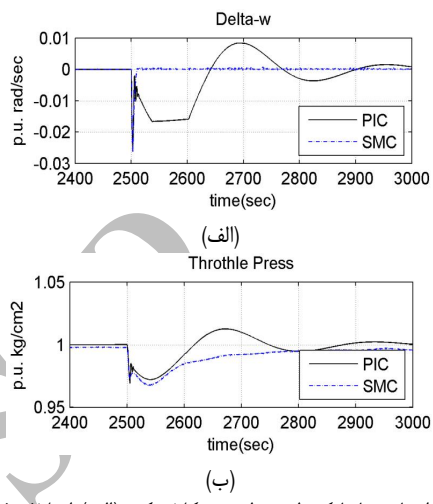
در شکل ۸ نیز رفتارهای دو سیستم برای اغتشاش پله ۵٪ افت فشار بخار تروتل مقایسه شده است. مجدداً ملاحظه می‌شود سیستم کنترل مود لغزشی در کنترل فرکانس دارای فروجهش و فراجهش کمتری است. همچنین زمان نشست آن نیز به مرانب کمتر است.

۷- نتیجه‌گیری

در این مقاله یک سیستم کنترل مود لغزشی جایگزین سیستم کنترل بویلر-توربین مبتنی بر کنترل کننده‌های PI نیروگاه اسلام‌آباد اصفهان شد. در این راستا از مدل دقیق نیروگاه بخاری شامل مدل بویلر، توربین، گاورنر به همراه سیستم‌های کنترلی آنها استفاده شده است. نتایج شبیه‌سازی نشان می‌دهد که کنترل کننده مود لغزشی در کنترل فرکانس و فشار بخار تروتل دارای دینامیک بسیار سریع‌تری نسبت به کنترل کننده تابعی-انتگرالی می‌باشد. این در حالی است که محدودیت‌های مورد نیاز برای نرخ تغییر ورودی‌های سوخت و هوای بخار در مدل سازی در نظر گرفته شده است. سرعت دینامیک حالت گذرا از ویژگی‌های برجسته کنترل مود لغزشی است.



شکل ۸: نمودار فشار بخار تروتل با کنترل کننده تابعی-انتگرالی.



شکل ۹: نمودار پاسخ‌ها با کنترل مود لغزشی کلاسیک، (الف) اختلاف فرکانس و (ب) فشار بخار تروتل.

لغزش می‌توان شکل پاسخ را تا حدی تغییر داد. به عنوان مثال با کاهش ضربی سطح لغزش ۵٪ می‌توان حالت نوسانی را در پاسخ از بین برد ولی از سوی دیگر پاسخ سیستم کنترل می‌شود، مانند آنچه که در شکل ۵ قابل ملاحظه است. در این حالت زمان خیز و زمان نشست سیستم به مقدار قابل ملاحظه‌ای افزایش می‌یابد. در صورت افزایش این ضربی، گرچه پاسخ سیستم تندتر می‌شود ولی پاسخ نوسانی می‌گردد. در این حالت پاسخ فرکانس دارای چترینگ نامطلوبی است. از طرفی وجود چترینگ ممکن است باعث تحریک دینامیک‌های مدل نشده فرکانس بالای سیستم و حتی ناپایداری سیستم شود.

۶-۳- کنترل مود لغزشی بهبود یافته

در شکل‌های ۶ و ۷ رفتار سیستم در قبال استفاده از کنترل کننده مود لغزشی بهبود یافته و مقایسه آن با کنترل کننده تابعی-انتگرالی متدالو بهازی اغتشاش پله ۱۰٪ بار الکترونیکی مقایسه شده است. با توجه به این شکل‌ها موارد زیر قابل ذکر است:

- (۱) کنترل کننده مود لغزشی در کنترل فرکانس دارای دینامیک سریع‌تری نسبت به کنترل کننده تابعی-انتگرالی می‌باشد. این در حالی است که محدودیت‌های مورد نیاز برای نرخ تغییر ورودی‌های سوخت و هوای بخار در مدل سازی در نظر گرفته شده است. سرعت دینامیک حالت گذرا از ویژگی‌های برجسته کنترل مود لغزشی است.
- (۲) در سیستم با کنترل کننده مود لغزشی فراجهش در فشار بخار تروتل ایجاد نمی‌شود. علاوه بر این میزان افت فشار تروتل در سیستم با کنترل کننده مود لغزشی به مقدار کمی بهتر از سیستم با کنترل کننده نوع تابعی-انتگرالی است.
- (۳) دینامیک فشار درام اگر چه مد نظر کنترل نیست، اما این متغیر به‌طور مستقیم در دینامیک سطح درام اثر می‌گذارد. تغییر فشار درام

۴) پارامترهای سیستم کنترل:
پارامترهای سیستم کنترل تناوبی انتگرالی

$$K_{pt} = 1.08$$

$$K_{ut} = 3.24$$

$$K_{pb} = 4.4$$

$$K_{ib} = 0.4$$

پارامترهای سیستم کنترل مود لغزشی کلاسیک

$$b_1 = 0.01$$

$$c_1 = 5$$

$$c_r = 15$$

$$K_{smcv} = 0.03$$

$$K_{smcr} = 0.18$$

پارامترهای سیستم کنترل مود لغزشی بهمودیافته

$$\alpha_1 = 2.9, \alpha_r = 0.5$$

$$\beta_1 = 0.005, \beta_r = 0.003$$

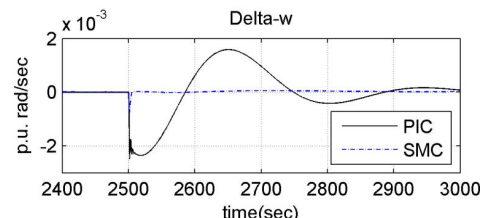
$$\gamma_1 = 0.008, \gamma_r = 0.004$$

$$\varepsilon_1 = 0.5, \varepsilon_r = 0.5$$

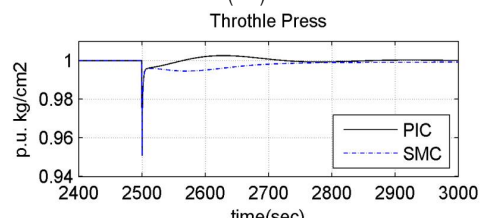
$$F_1 = 0.5, F_r = 0.5$$

مراجع

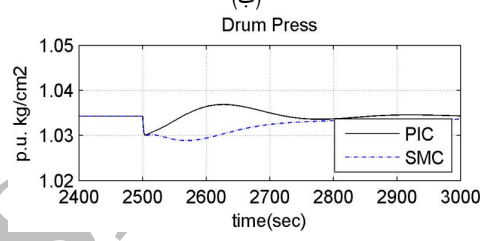
- [1] M. Salehi and A. Afzalian, "Robust H_∞ control design for a boiler-turbine unit," in *Proc. Int. Conf. on Smart Manufacturing Application*, pp. 520-525, Apr. 2008.
- [2] W. G. Kim, U. C. Moon, S. C. Lee, and K. Y. Lee, "Application of dynamic matrix control to a boiler-turbine system," in *Proc. IEEE Conf. on Control Application*, vol. 2, pp. 1595-1600, Jun. 2005.
- [3] D. M. Y. Takagi, K. Mitsumoto, H. Oguchi, A. Nakai, and S. Hino, "A new control strategy for coal fired thermal power plants," in *Proc. IEEE Conf. on Control Applications*, pp. 1680-1685, Toronto, Canada, Aug. 2005.
- [4] Y. Wang and X. Yu, "New coordinated control design for thermal power generation units," *IEEE Trans. on Industrial Electronics*, vol. 53, no. 1, pp. 123-130, Aug. 2010.
- [5] Y. Daren and X. U. Zhiqiang, "Nonlinear coordinated control of drum boiler power unit based on feedback linearization," *IEEE Trans. on Energy Conversion*, vol. 20, no. 1, pp. 204-210, Mar. 2005.
- [6] Z. L. Yong, "Improving performance of PID controller using artificial neural network for disturbance rejection of high pressure steam temperature control in industrial boiler," in *Proc. Int. Conf. on Control, Automation and Systems*, pp. 1204-1207, Oct. 2008.
- [7] W. G. Kim, U. C. Moon, S. C. Lee, and K. Y. Lee, "Fuzzy - adapted recursive sliding - mode controller design for nuclear power plant control." *IEEE Trans. on Nuclear Science*, vol. 51, no. 1, pp. 256-266, Feb. 2004.
- [8] X. J. Liu, P. Guan, and J. Z. Liu, "Power plant coordinated predictive control using neuro fuzzy model," in *Proc. of the 2006 American Control Conf.*, vol. 1, pp. 129-133, Minneapolis, Minnesota, US, Jun. 2006.
- [9] R. Cori and C. Maffezzoni, "Practical optimal control of a drum boiler power plant," *Automatica*, vol. 20, no. 2, pp. 163-173, Mar. 1984.
- [10] A. B. Abdennour and K. Y. Lee, "A decentralized controller design for a power plant using robust local controllers and functional mapping," *IEEE Trans. on Energy Conversion*, vol. 11, no. 2, pp. 394-400, Jun. 1996.
- [11] W. Tan, H. J. Marquez, and T. Chen, "Multivariable robust controller design for a boiler system," *IEEE Trans. on Control Systems Technology*, vol. 10, no. 5, pp. 735-742, Sep. 2002.
- [12] H. Peng, T. Ozaki, V. H. Ozaki, and Y. Toyoda, "A nonlinear exponential ARX model - based multivariable generalized predictive control strategy for thermal power plants," *IEEE Trans. on Control System Technology*, vol. 10, no. 2, pp. 256-262, Mar. 2002.



(الف)



(ب)



(ج)

شکل ۸ مقایسه پاسخ دو سیستم به اغتشاش پله برای (الف) اختلاف فرکانس، (ب) افت فشار بخار تروتل و (ج) فشار درام.

ورودی‌های سوخت و هوا و بخار همگی در شبیه‌سازی لحاظ شده‌اند. علاوه بر این، فراجهش و فروژهش در پاسخ سیستم کاملاً حذف می‌شود. همچنین دینامیک فشار درام که تأثیر مستقیم در دینامیک سطح درام دارد در سیستم با کنترل کننده مود لغزشی، به مراتب بهتر از سیستم با کنترل کننده‌های تناوبی- انتگرالی رفتار می‌نماید.

پیوست

مقادیر پارامترهای بلوک دیاگرام شکل ۲ در ارتباط با نیروگاه اسلام آباد

اصفهان به شرح زیر است [۱۹]

(۱) پارامترهای بویلر

$$T_w = 4 \text{ sec}, T_{fu} = 5 \text{ sec}$$

$$C_d = 1.08 \text{ sec}, C_{sh} = 12 \text{ sec}$$

$$K_b = 3.78 \text{ sec}$$

(۲) پارامترهای توربین و گاورنر

$$T_{ch} = 0.4 \text{ sec}$$

$$T_{rh} = 4.65 \text{ sec}$$

$$T_{co} = 0.63 \text{ sec}$$

$$R = 0.5 \text{ sec}$$

$$T_g = 0.2 \text{ sec}$$

$$\cdot < u_1 < 1, |\dot{u}_1| \leq 0.07$$

$$\cdot < u_r < 1, -0.1 < |\dot{u}_r| \leq 0.1$$

$$F_{hp} = 0.29, F_{ip} = 0.29, F_{lp} = 0.42$$

(۳) پارامترهای ژنراتور

$$M = 6 \text{ sec}$$

$$D = 0.1$$

سیاوش گل محمدی سامانی تحصیلات خود را در مقطع کارشناسی در سال ۱۳۷۷ در رشته مهندسی برق کنترل دانشگاه تهران به پایان رسانده و مقطع کارشناسی ارشد را در سال ۱۳۷۹ در رشته مهندسی برق قدرت در دانشگاه اصفهان به پایان رسانده است. نامبرده از سال ۱۳۸۱ تا کنون به عنوان مهندس شیفت بهره‌برداری و کارشناس ابزار دقیق در شرکت مدیریت تولید برق اصفهان مشغول به کار بوده است. زمینه‌های تحقیقاتی مورد علاقه ایشان عبارتند از: سیستم‌های کنترل غیرخطی، دینامیک سیستم‌های قدرت، منطق فازی، مهندسی نرم افزار، انرژی‌های نو.

رحمت‌الله هوشمند در سال ۱۳۶۸ مدرک کارشناسی مهندسی برق خود را از دانشگاه فردوسی مشهد و در سال ۱۳۷۰ مدرک کارشناسی ارشد مهندسی برق را از دانشگاه تهران دریافت نمود. سپس دوره دکتری خود را در مهندسی برق – قدرت در سال ۱۳۷۴ به پایان رسانده است و هم‌اکنون دانشیار دانشکده مهندسی دانشگاه اصفهان می‌باشد. نامبرده قبل از پیوستش به دانشگاه اصفهان، در سال‌های ۱۳۷۵ الی ۱۳۸۱ استادیار دانشگاه شهید چمران اهواز بوده است. زمینه‌های تحقیقاتی مورد علاقه ایشان عبارتند از: بهره‌برداری از سیستم‌های توزیع و انتقال، سیستم‌های تجدید ساختار یافته، کاربرد سیستم‌های هوشمند در بهینه‌سازی.

محمد عطائی در سال ۱۳۷۳ مدرک کارشناسی مهندسی برق خود را از دانشگاه صنعتی اصفهان و در سال ۱۳۷۶ مدرک کارشناسی ارشد مهندسی برق را از دانشگاه علم و صنعت ایران در گرایش کنترل دریافت نمود. سپس دوره دکتری خود را در مهندسی برق – کنترل در دانشگاه صنعتی خواجه نصیرالدین طوسی آغاز و با دریافت بورسیه تحصیلی با انجام تر مشرک با دانشگاه برمن آلمان، در سال ۱۳۸۲ این دوره را به پایان رسانده است. از سال ۱۳۸۳ بعنوان عضو هیات علمی به گروه مهندسی برق دانشکده مهندسی دانشگاه اصفهان ملحق شده و اکنون دانشیار این گروه می‌باشد. زمینه‌های تحقیقاتی مورد علاقه ایشان عبارتند از: تئوری کنترل و کاربرد آن، آنالیز سری‌های زمانی آشوبی و کاربرد کنترل در سیستم‌های قدرت.

- [13] H. Shayeghi, H. A. Shayanfar, and A. Jalili, "Load frequency control strategies: a state - of - the - art survey for the researcher," *Energy Conversion and Management*, vol. 50, no. 2, pp. 344-353, Feb. 2009.
- [14] J. Zhen, L. Yong, and W. X. Jie Liu, "Modeling and controller design of superheated steam temperature system based on SVM combining adaptive DMC," in *Proc. of the Sixth Int. Conf. on Machine Learning and Cybernetics*, vol. 1, pp. 533-538, Hong Kong, Aug. 2007.
- [15] K. Kunitomi, A. Kurita, Y. Tada, S. Ihara, S. Price, W. W. Richardson, L. M. Smith, and G. Electr, "Modeling combined - cycle power plant for simulation of frequency excursions," *IEEE Trans. on Power System*, vol. 18, no. 2, pp. 724-729, May 2003.
- [16] Z. Hu, H. Fan, Y. He, "Robust controller design for boiler system," in *Proc. Int. Conf. on Intelligent Computation Technology and Automation*, pp. 445-449, Oct. 2008.
- [17] F. P. de Mello, "Boiler models for system dynamic performance studies," *IEEE Trans. on Power Systems*, vol. 6, no. 1, pp. 66-74, Feb. 1991.
- [18] IEEE Working Group on Prime Mover and Energy Supply Models for System Dynamic Performance Studies, "Dynamic models for fossil fueled steam units in power system studies," *IEEE Trans. on Power Systems*, vol. 6, no. 2, pp. 753-761, May 1991.
- [۱۹] نیروگاه اسلام‌آباد اصفهان، کتاب طراحی واحد ۵، بخش ابزار دقیق، GIE ایتالیا.
- [20] H. Moradi, E. Bakhtiari - Nejad, and M. Saffar - Avval, "Robust control of an industrial boiler system: a comparison between two approaches: sliding mode control & H_∞ technique," *Energy Conversion and Management*, vol. 50, no. 2, pp. 1401-1410, Jun. 2009.
- [21] M. Falahpoor, M. Ataei, and A. Kiyomarsi, "A chattering - free sliding mode control design for uncertain chaotic systems," *Chaos, Solitons, and Fractals*, vol. 42, no. 3, pp. 1755-1765, Mar. 2009.